# 骨髄移植の基礎的研究:Density Gradientによる免疫担当細胞の分離について

メタデータ 言語: jpn 出版者: 公開日: 2017-10-04 キーワード (Ja): キーワード (En): 作成者: メールアドレス: 所属: URL http://hdl.handle.net/2297/4609

# 骨髄移植の基礎的研究

Density Gradient による免疫担当細胞の分離について

金沢大学医学部内科学第3講座(主任:服部絢一教授)原田実根 (昭和50年2月27日受付)

本論文の要旨は第36回日本血液学会総会(昭和49年4月)において報告した.

最近数年間の免疫学の進歩はめざましく, 単なる感 染防禦という古典的な概念から免疫監視機構 (Immunological surveillance) という, より包括的な考 え方へと変化してきている. 抗原に特異的に反応する 抗体は血清中の免疫グロブリンで代表されるもので、 液性抗体の主な担い手であるが、これとは別に抗原を 認識し特異的にこれと反応する感作リンパ球が直接 "effector cell" として関与する機構があり、これは 細胞性免疫のひとつとして知られている. この effector cell については、これまでの多くの優れた細胞 生物学的研究によって, その起源, 性質, 機能および 分化増殖機構などが明らかにされつつある<sup>1)2)</sup>. さらに 免疫反応に関与するリンパ球には、胸腺の影響をうけ 主に細胞性免疫を担当すると考えられる胸腺由来細胞 (thymus derived cell, T cell) と, 抗体産生に あずかる骨髄由来細胞 (bone marrow derived cell, B cell) に二大別され, さらにマクロファージ が第三の細胞として考えられている314). したがって抗 原刺激をうけた生体においては、これら三種類の細胞 によって種々の免疫反応が遂行されているものと理解 されており, 抗原を認識し特異的に反応して生体反応 を惹起し、さらに免疫的記憶にいたる免疫応答の過程 は細胞レベルで解析されるようになってきている5)6).

同種移植免疫反応では体液性免疫の関与よりは細胞性免疫がより重要で、反応の主役を演ずる免疫担当細胞は T cell であるといわれている<sup>788</sup>. また "not self" として認識されるのは組織適合抗原群あるいは移植抗原群と呼ばれる遺伝的に決定された細胞膜上の抗原によってであり<sup>70</sup>, 拒絶反応はこの抗原を認識し増殖分化した T cell によって惹き起され、主にそ

の細胞障害性によって発現されると考えられている<sup>899</sup>. しかし補体存在下での抗体の細胞障害性や最近注目されている抗体依存性細胞性免疫(Antibody dependent cell-mediated immunity)<sup>10)</sup> の影響も予想されており、移植免疫の詳細なメカニズムについては、まだ不明な点が少なくない。

骨髄移植は移植される graft が形態的にも機能的 にも異なる数種類の単離した細胞によって構成され、 しかも免疫担当細胞およびその前駆細胞をも含んでお り、さらに graft はただ生着するだけでは目的を達 せず自己再生、分化および増殖をおこなって造血を営 まねばならぬ点で他の臓器移植とはきわめて異ってい る<sup>11)</sup>. 同種骨髄移植反応では host の免疫担当細胞 が graft の組織適合抗原群を認識して惹き起す host versus graft reaction (HVGR) と, 逆に graft 中の免疫担当細胞が host に対して反応する graft versus host reaction (GVHR) の二種類の 拒絶反応が理論上生じうる. 骨髄移植は免疫生物学の 基礎的研究分野では欠くことのできない実験方法とし て重用されてきたが、ヒトにおける本格的な臨床応用 即ち造血不全の治療手段として利用され成功例が報告 されるようになったのは、ごく最近のことである12). 近年ヒト主要組織適合抗原 (HL-A) についての理解 が深まりまた検索法が開発され、一方 host の免疫 能を低下させる免疫抑制療法が進歩した結果、腎移植 の豊富な臨床経験が示すように HVGR をかなりな 程度までコントロールできるようになった13). ヒト骨 髄移植では一旦 graft が生着しても GVHR が発 現すると、 host は体重減少、下痢、皮膚炎および 造血リンパ組織不全などを主徴とする graft versus

Fundamental studies on human bone marrow transplantation; Physical separation of immunocompetent cells from bone marrow cells by density gradient. **Mine Harada** Third Department of Internal Medicine (Director: Prof. K. Hattori.), School of Medicine, Kanazawa University.

host disease (GVHD) を招来してしばしば死に至ることが知られている<sup>(1)</sup>. したがって GVHR をいかに予防するか、あるいは一旦生じた GVHR をいかに軽減するかということが、ヒト同種骨髄移植における解決すべき重要な課題として残されている、これには graft 中より免疫担当細胞を物理的に除去したり、あるいは何らかの生物化学的処理をおこなって免疫担当細胞の機能を消失させる方法が可能性として考えられる.

本論文では GVHR の予防ないし軽減する方法を見い出すことを目的として、各種濃度の牛血清アルブミン (bovine serum albumin, BSA) 溶液による不連続密度勾配遠心法 (BSA discontinuous density gradient centrifugation, BSA-DDGC) を利用してヒト骨髄細胞をいくつかの層に分画し、得られた各分画について細胞の種類や機能を種々の角度から検討し、一定の成績を得たので報告する.

#### 実験材料および実験方法

#### 1.対象および骨髄細胞採取

当科外来および入院患者のうち免疫学的異常を有さず、ほぼ正常ないしごく軽度の異常しか示さない骨髄像を有するものを対象とした、骨髄穿刺は型のごとくおこない、ヘパリン加穿刺液を約2 ml得た、室温1-2 時間放置または plasma gel (再々蒸留水に gelatin 3 g,  $CaCl_2 \cdot H_2O$  0.2g, NaCl 0.7g を加え全量 100ml としたもの)を1 ml加え混和後 20-30分 37°C 恒温槽に放置後、赤血球が可及的にまじらず、かつ有核細胞に富む上清を得た、必要に応じて培養液 (RPMI 1640 又は McCoy 5 A) あるいは

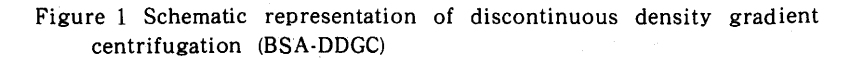
HBSS で洗浄遠心した.

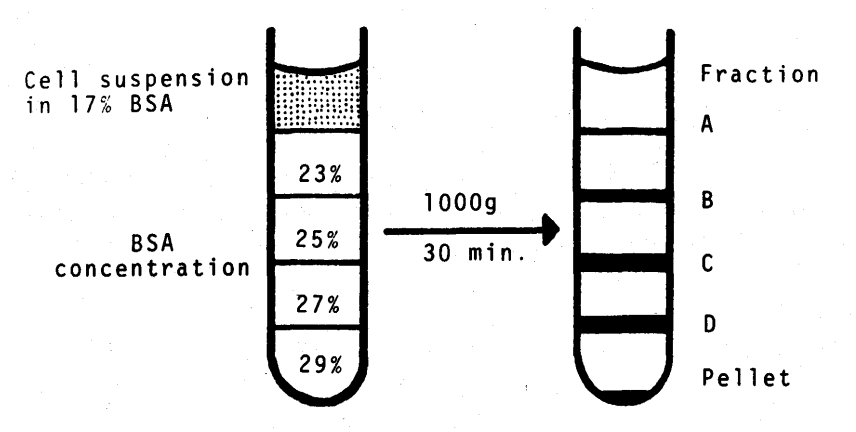
- 2. BSA-DDGC の方法
- 1) 35% stock solution の調整

BSA 粉未 (Fraction V powder, Armour Pharmaceutical Co.) には浸透圧に影響を及ぼす程度 の塩類が含まれているので、 Dicke<sup>15)</sup> の方法に準じ て次のような浸透圧調整をおこなった。まず BSA 粉 未を再々蒸留水に溶かし 17.5% BSA 溶液を作製し その浸透圧を osmometer (Advance Co.) で測定 した. この17.5% BSA 溶液の浸透圧の2倍の値(35 % BSA 溶液の浸透圧) との和が 375mOsm となる ように浸透圧を調整した pH7.2 の Tris (hydroxymethyl) amino methane buffer を作製した.50 gの BSA 粉未を90mlの上記 Tris buffer に完全 に溶かし refractometer (Atago Co.) で refractive index が1.4003になるまで Tris buffer を加 えて 35% stock solution とした. ただちに filter pad (Toyo Roshi, 0.45µ, No.85) で加圧濾 過して滅菌し-20°Cで保存した.

- 2) NaCl-Phosphate buffer (N-P buffer) の作製 0.94%の食塩水 900ml に 0.2M, pH7.2 の Phosphate buffer および再々蒸留水をそれぞれ 22.5ml づつ加えたものを N-P buffer とした. ついでオートクレーブで滅菌後浸透圧が 300 mOsm となるように調整した. この N-P buffer で stock solution を稀釈し 29, 27, 25, 23, 17% の各濃度のBSA 溶液を作製した.
  - 3) Centrifugation の方法

各 BSA 溶液を 5 mlの Nitrate cellulose tube (2 x1/2 inch, Beckmann) に 1 mlづつ比重の重い





Ħ

順序で気泡を作らぬように注意深く重層し、さらに17 % BSA 溶液に浮遊させた 100×10<sup>6</sup>前後の骨髄細胞を 23% BSA 溶液の上に重層した. 遠心は冷却遠心機 (富永製作所, CG-101) で 10°C 1000a の条件で30分 間行ない、各濃度 BSA 溶液の境界に生じた細胞層を 比重の軽い順にA, B, C, D分画および Pellet とし た. 得られた各分画細胞は必要に応じて HBSS また は培養液で2回洗浄し、 0.3% Trypan blue を用い る dye exclusion test で viability をチェック した後、適当な細胞濃度に調整し以下の実験に使用し た. BSA-DDGC の方法の概略を Fig.1 に示す

- 3. 分画骨髄細胞の種類, 形態および機能
- 1) 分画骨髄細胞の細胞分布と形態学的特徴

得られた各分画の細胞数の算定と共に Giemsa 染 色塗沫標本から各分画骨髄細胞の光顕的形態分類を行 なった.

2) Phytohemagglutinin (PHA) および Pokeweed mitogen (PWM) に対する in vitro 反 応 性

ヒトにおいては T cell stimulant のひとつと考 えられている PHA と, T cell, B cell 両方を刺激 するといわれている PWM に対する反応性を滝口ら15) の方法によって検討した、まず各分画細胞1×10<sup>6</sup>個 を自己血漿 10% と抗生物質 (PC 100u./ml, SM 100μg/ml) を加えた RPMI 1640 培養液 (GIBCO) 2 mlとともに培養試験管に入れ、 PHA-P (Difco) の 場合は 2 μl, PWM (Difco) の場合は 20μlを添加し、 それぞれ72時間および96時間 37°C にて 5% CO₂ in air, 100% 湿度の条件下で培養した。培養終了前 24時間に於いて 1 μCiの <sup>3</sup>H-Thymidine (Amersham, Spec. Act. 5 Ci/mmol) を各試験管に加えた. 培養終了後 0.85% の冷食塩水を加えて 2回 1500 rpm,10分間遠心洗浄し,ついで2回 1800rpm にて 5% TCA (Trichloro acetic acid) で遠心洗浄し, さらに1回メタノールを加えて遠心した. 沈渣を乾燥 させた後, 0.25ml の Hydroxide of Hyamine 10-X (Packard Co.) を加え 56°C, 60分恒温槽にて incubate 後、シンチレーション液 (Toluene 11 に POP 5g, POPOP 100mg を溶かしたもの) を 10mlづつ加えて 3H-Thymidine の取り込み即ち芽球 化したリンパ球の DNA 合成を 5% TCA 不溶性 3H-Thymidine 量として液体シンチレー ションカウ ンターで活性を測定した、培養はいずれも duplicate で行い誤差が 10% 以内になるようにし、 それ以 上のものは除外した.

3) Alloantigen に対する反応性

alloantigen としては Conray-Ficoll 法16 によっ て分離した正常健康人末梢血リンパ球をもちいて Bach ら<sup>11)</sup> の方法を修正して各分画骨髄細胞との one way mixed leukocyte culture (MLC) を行 なった. まず stimulant cell として 1.5×106/0.25 ml の各分画骨髄細胞および末梢血リンパ球を培養 試験管に入れ、これに 50µg/0.1ml の Mitomycinc (三共製薬、MMC)を含む RPMI 1640培養液を加え 混和後, 37°C, 30分間 incubate し, ついで冷して おいた培養液を加えて2回遠心洗浄した. これに responding cell として各分画細胞 1×10%を 2) と 同じ培養液 2 mlとともに加え、2) と同様の条件で 7 日間培養した、培養終了24時間前 1 µCi の ³H-Thy・ midine を加え培養終了後、2) と同様の処理を行な って 5% TCA 不溶性 <sup>3</sup>H-Thymidine 量として活 性を測定した.

#### 4) 羊赤血球ロゼット形成性リンパ球

ヒトでは T cell のマーカーといわれる羊赤血球と spontaneous rosette を形成するリンパ球 Rosette forming cell (RFC) について、矢田ら<sup>(8)</sup> の方 法に従って検討した、HBSS で3回洗浄後、牛胎児 血清 (FCS) 中に 5×10<sup>6</sup>/ml の細胞濃度 に調整した 各分画細胞浮遊液 0.1ml と FCS に 1×108/ml と なるようにした羊赤血球浮遊液 0.1ml とを小試験管 にとり、 混和液 37°C にて15分間 incubate 後, 1000 rpm, 5 分間遠心し, さらに 0°C の氷浴中で 1 時間以上反応させた. 反応終了後毛細管ピペットをも ちいてゆるやかに再浮遊させ、その一部を血球計算盤 に入れ400倍で検鏡した、250個以上の各分画細胞につ いて2個以上の羊赤血球と結合しているリンパ球を陽 性として陽性率を計算した、また別に作製しておいた 各分画骨髄細胞の Giemsa 染色塗沫標本より、リン パ球の百分率を求めておき、各分画骨髄細胞に含まれ るリンパ球中に占める RFC の割合いを間接的に求め た. 対照としては Conray-Ficoll 法で分離した正 常健康人の末梢血リンパ球の RFC を用いた.

5) Colony forming cell in culture (CFC-C) in vitro での造血能を測定するひとつの指標とし て、軟寒天培地上に形成される顆粒球コロニーを各分 画骨髄分画細胞について、 Pike ら19) の方法を用い て検討した. まずコロニーの発育に不可欠な colony stimulating factor (CSF) を産生する feeder layer を作製した、健康正常人よりへパリン加血液約 10ml を試験管にとり室温で1-2時間放置後,毛細管 ピペットで leukocyte rich plasma を得た. McCoy 5A medium (GIBCO) に FCS 15% と.

種々のアミノ酸やビタミン類を Pike らの処方に従 がって添加したものを培養液として用いた。この培養 液を前もって37°Cに加温しておき、これに沸とう後 完全に溶解した 5 % 寒天 (Bacto-Agar, Difco) を 9:1 (最終濃度0.5%) で加え 40°Cになるまで冷し た後, 先に得た leukocyte rich plasma を 1× 10<sup>6</sup>/ml の濃度になるように加えよく混和した. 混和 後ただちにこの細胞浮遊液を 1mlづつ 35mm Petridish (Falcon #1008) に分注し室温にてゲル化さ せたものを feeder layer とした. feeder layerは 37°C, 10% CO2 in air, 100% 湿度の条件にした incubator に保存し、作製後一週間以内に使用する ようにした. 一方 overlayer も feeder layer 作 製の場合と同じ要領で行なった、寒天を最終濃度 0.3 % になるように培養液に加え、さらに培養液で3回 洗浄した各分画骨髄細胞を 2×105/ml の濃度になる ように加え、これを上記 feeder layer の上に overlayerとして 1 ml づつ重層しゲル化するまで室 温に放置した、以上の操作はすべて無菌下に行なっ た. ついで dish を上記と同じ条件の incubator に移し12-14日間培養した、培養終了後倒立顕微鏡で 観察し、軟寒天層に形成された40個以上の細胞からな るコロニー数を算定した.

## 実.験 成績

#### 1. 分画骨髄細胞の細胞分布と形態学的特徴

得られたヒト骨髄細胞の各分画における細胞数分布 は10例の平均値として示すと Fig.2 のようになり, A分画に最も少なく常に10%以下, B分画は 10-20%, CおよびD分画は最も多く 40% 前後であった. 穿刺 液量が約 2 ml と比較的多くかなり末梢血の混入が 避けられないために、P分画における細胞数はどの程 度末梢血が混入するかによって変動が大きかった. P 分画を含めた回収率は BSA-DDGC を行なう際 17 % BSA 溶液に浮遊させた全骨髄細胞数の約 60-70% であった. Giemsa 染色所見については Fig.3 に、また5例についての各分画骨髄細胞の百分率は平 均値と標準偏差を Table 1 に示した. Fig. 3A と 3B から明らかなようにA, B分画には赤芽球系, 顆粒 球系ともに大型芽球様細胞が多数を占めた. 一方C分 画は Fig. 3C に示すように大型芽球様細胞は減少 し骨髄球以下のやや成熟した好中球が増加、またリン パ球も10%前後みられた. ついでD分画には Fig. 3D に示すごとく小リンパ球が集中して分布し、顆粒 球も後骨髄球以下の成熟したものが多く見られた。 Pellet は遠心操作により破壊された細胞が多く分類

不可能なものが約 20% を占め、主体をなすのは成熟好中球で、その他、好酸球が集中的に分布しリンパ球も散見された、多染性正球 性赤 芽球 はどの分画にも20% 前後分布し,巨核球はA.B分画、形質細胞はC.D分画、単球は特に一定の傾向を示さなかった。

# 2. PHA および PWM に対する in vitro 反応性

Mitogen を加えた場合と加えなかった場合の <sup>3</sup>H Thymidine の取り込みの比を Index of stimulation (I.S.) として表すと、PHA に対してD分画はA、BおよびC分画に比較し最もよく反応し、I.S.は常に1.1以上の値を示した、またC分画も I.S. が1.1以上の値を示す場合があったが、A、B分画は常に1.0以下であって PHA は cytotoxic に働いた、 Table 2 に代表的な場合を示したが、PHA 非添加でB、C分画細胞が高い background 値を示したのは、この分画に DNA 合成を行なっている細胞が多いためと思われる。一方 PWM に対しては各分画の反応は一定の傾向を示さなかったが、 Table 3 および Fig.4 に示すように I.S. が1.0 以上になる場合が多かった.

#### 3. Alloantigen に対する反応性

リンパ球によって規定される組織適合抗原 (Lymphocyte defined determinants) の最も信頼できる検査法であるといわれている MLC によって骨髄リンパ球の T cell 機能を検討すると、 Table 4

Figure 2 Distribution profile of human bone marrow cells fractionated by BSA-DDGC

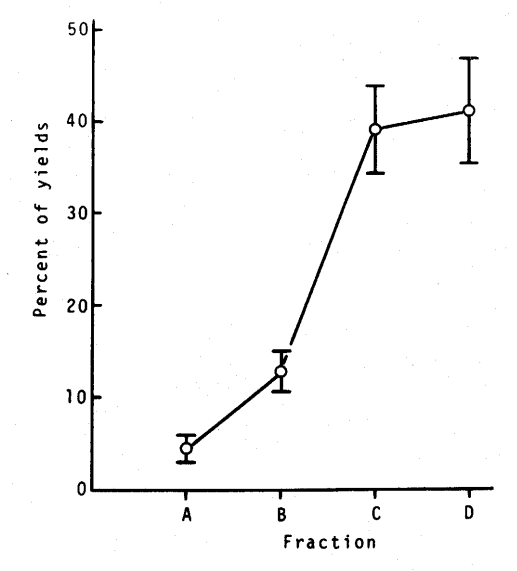


Table 1	Morphological	differentiation	of	fractionated	human	bone
	marrow cells					

	Fraction					
	Α	В	С	D	Pellet	
Erythroblast						
Proerybl.	1.8±0.					
Macro. Bas.	$1.8 \pm 0.24$	$0.3 \pm 0.28$	0.1±0.21			
Macro. Poly.	$5.1 \pm 2.11$	$2.0 \pm 0.51$	0.8±0.47	$0.3 \pm 0.24$		
Macro. Orth.			1:	(+)		
Normo. Bas.	$3.4 \pm 0.97$	$0.8 \pm 0.24$	0.7±0.87	14		
Normo. Poly.	23.3±3.74	27.5±1.10	23.3±6.46	$14.9 \pm 6.68$	8.5±6.01	
Normo. Orth.				(+)		
Mitosis	$0.3 \pm 0.24$	$0.3 \pm 0.24$	·			
Granulocytes	·					
Myelobl.	8.8±0.74	$7.0 \pm 1.57$	0.1±0.20			
Neutr. Prom.	$29.1 \pm 4.03$	36.5±3.11	7.3±3.52	$1.4 \pm 1.39$		
Neutr. Myel.	$12.3 \pm 1.74$	11.3±3.14	$27.7 \pm 17.92$	$11.7 \pm 5.24$	$2.1 \pm 1.60$	
Neutr. Met.	$7.0 \pm 0.48$	6.3±3.14	11.0±3.69	21.8±4.29	12.6±5.47	
Neutr. St.	0.8±0.43	0.6±0.57	8.2±4.39	$18.4 \pm 3.84$	27.6±5.93	
Neutr. Seg.	$0.7 \pm 0.26$	$0.4 \pm 0.26$	2.8±2.47	$4.3 \pm 2.47$	17.7±3.83	
Eosin.	(+)	0.3±0.24	0.5±0.38	1.8±1.24	$4.6 \pm 1.60$	
Basophil			(+)	$1.4 \pm 1.71$		
Monocytes	1.5±0.31	1.4±0.21	2.8±1.91	$1.9 \pm 0.60$	1.2±1.51	
Lymphocytes						
Large	1.8±0.24	2.0±0.79	2.8±1.01	$2.9 \pm 2.08$	1.7±1.62	
Small	0.9±0.31	0.8±0.77	$10.3\pm3.79$	21.2±4.86	5.2±1.88	
Plasma cell			(+)	(+)		
Megakaryocytes	(+)	(+)				
Unclassified	1.7±0.73	1.3±0.74	$1.4 \pm 0.34$	$1.6 \pm 0.64$	22.7±9.74	

Table 2 PHA stimulation of fractionated human bone marrow cells

Fraction	<sup>8</sup> H-TdR uptake in 3 days culture (cpm)					
Fraction	without PHA	with PHA	I. S. *			
A	49195	13676	0.28			
В	110814	39022	0.35			
С	211577	43202	0.20			
D	36672	61354	1.67			
P	12539	15955	1.27			

\* I.S. : Index of Stimulation =  $\frac{\text{cpm in culture with PHA}}{\text{cpm in culture without PHA}}$ 

Fraction	<sup>8</sup> H-TdR uptake in 4 days culture (cpm)					
Fraction	without PWM	with PWM	I.S. *			
A	35794	42881	1.20			
В	91124	55957	0.61			
С	184830	41926	0.23			
D	30350	37511	1.24			
P	8238	11858	1.44			

Table 3 PWM stimulation of fractionated human bone marrow cells

\* I.S.: Index of Stimulation =  $\frac{\text{cpm in culture with PWM}}{\text{cpm in culture without PWM}}$ 

Table 4 One way mixed culture of fractionated human bone marrow cells as responder and peripheral blood lymphocytes as stimulant

Evention	³H-TdR	<sup>3</sup> H-TdR uptake in 7 days culture (cpm)				
Fraction	Syngeneic	Allogeneic	I. S. *			
АВ	4798	5070	1.1			
C	5596	4921	0.9			
D.	1094	2733	2.5			
P	(124)	(824)	(6.6)			

\* Index of stimulation =  $\frac{\text{cpm in culture of allogeneic combination}}{\text{cpm in culture of syngeneic combination}}$ 

に示されるように不D分画は I.S. 2.5 と高値を示し常に1.5以上の値であった。したがってD分画は alloantigen である MMC 処理末梢血リンパ球を認識しうるリンパ球即ち T cell に富む分画であることがわかる。 ³H-Thymidine の取り込みが background においてかなり低下しているのは PHA や PWM の場合にくらべ、培養期間が長いことによると考えられる.

以上 mitogen と alloantigen に対する反応性をそれぞれ 4 例について検討した結果を平均値として図示すると Fig.4 のごとくなり、D分画が PHA および alloantigen に高い反応性を示していることは明らかである。

# 4. 羊赤血球ロゼット形成性細胞

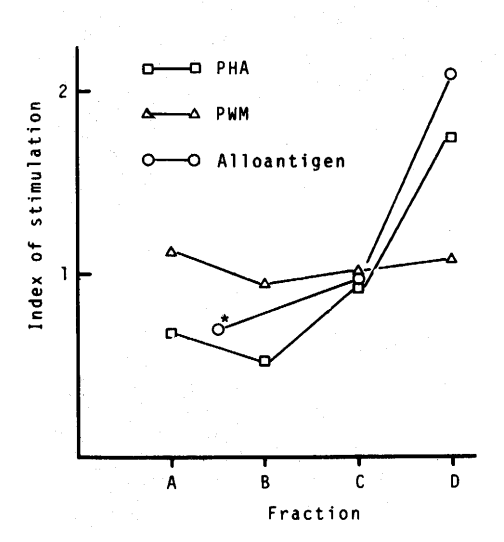
羊赤血球と spontaneous rosette を形成するリンパ球はA. B分画にはほとんど認められないが、 6

例の検討では Fig.5 に示すようにC、D分画にはそれぞれ 6.9±3.6%、14.6±6.4% となり、D分画にRFC が最も多く観察された.さらにD分画について骨髄リンパ球中の RFC を間接的に求めると、57.2±11.4%となり、30例の健康正常人で得られた成績52.5±7.3% とほぼ同様の値を示した。 したがってD分画に含まれるリンパ球にも末梢血リンパ球とほぼ同程度の RFC が存在することが明らかとなった。

#### 5. Colony forming cell in culture (CFC-C)

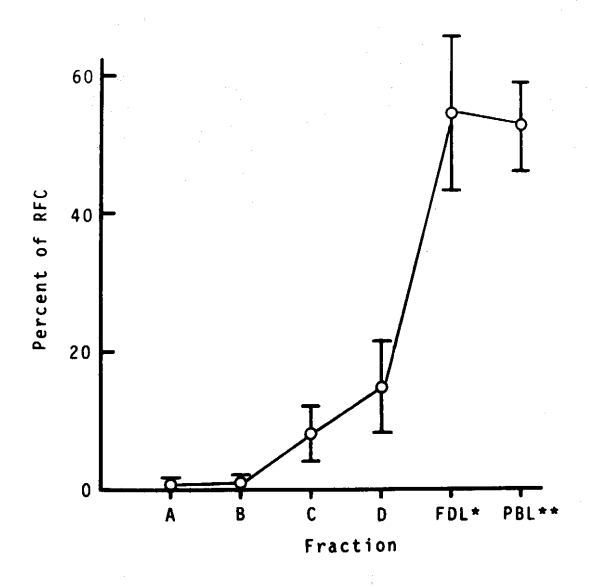
各分画について  $2\times10^5$  個の骨髄細胞あたりの CF-C-C 数を 4 枚のプレートの平均値と標準偏差で表わすと、代表的な場合は Fig.6 のごとくなり、 A分画は  $239\pm28$  と最も高値を示しB、 C分画がこれにつぎ、D分画は最も低く常に末分画の場合より低値を示した、 A分画の CFC-C 数は他分画にくらべ有意に高いコロニー数が得られ (P<0.05, Mann-Whiteney

Figure 4 Response of fractionated human bone marrow cells to PHA, PWM and alloantigen



\* A+B fraction

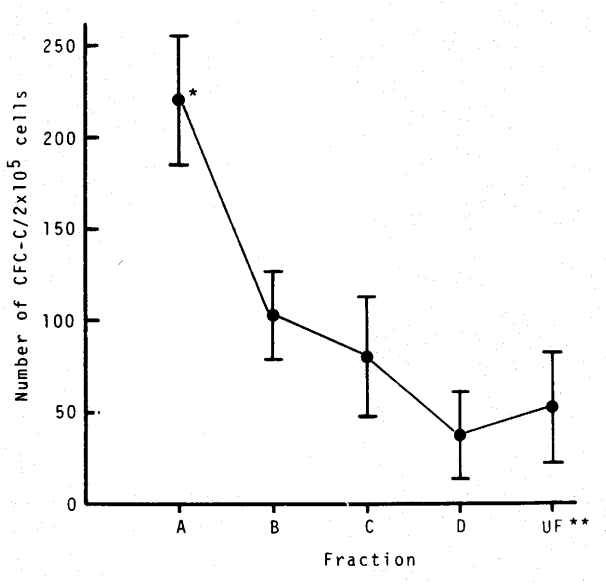
Figure 5 Rosette forming cell (RFC) of fractionated human bone marrow cells



\*FDL: Fraction D lymphocyte

\* \* PBL : Peripheral blood lymphocyte

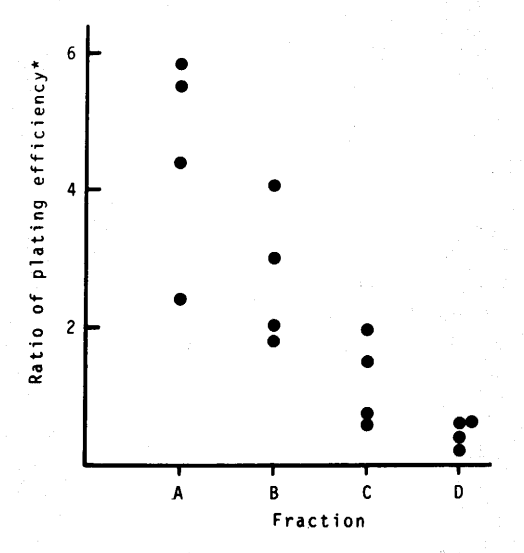
Figure 6 Colony forming cell in culture (CFC-C) of fractinated human bone marrow cells



\* A vs B, C, D and UF; P<0.05 (Mann-Whitney U test)

\* \* UF: Unfractionated bone marrow cells

Figure 7 Ratio of plating efficiency of fractionated and unfractionated human bone marrot cells



\* Ratio of plating efficiency: Mean number of CFC-C of fractionated cells/ mean number of CFC-C of unfractionated cells U test)、4例について行った検討でもほぼ同様の傾向がみられた。さらに末分画の場合の CFC-C 数の平均値と各分画骨髄細胞中の CFC-C 数の平均値との比を Ratio of plating efficiency として表わすと、Fig.7 のようにA分画は 2.4-5.8 倍、B分画は 1.8-4.8 倍と高値を示したが、C分画は高々 2 倍まででD分画は常に1.0以下であった。即ち CFC-C はA、B分画に集中し、とくにA分画にそのピークが認められ、C、D分画は CFC-C には乏しかった。 ヒトの顆粒球コロニーはその形態的特徴によって、好中球コロニーとマクロファージコロニーとに区別されるが、Fig.8 にその 1 例を示した。

## 考察

#### 1. BSA-DDGC について

血液ないし造血臓器から血液細胞を分離または分画 する方法には種々のものが考案されているが、大別す ると細胞の容積や大きさの差と、比重の差を利用する ものにわけられる. 比重差を利用する細胞分画法に は、連続的密度勾配で行なうものと非連続なものとが あり、密度勾配に使用される溶媒としては BSA の他 に Ficoll, アラビアゴム、 Glycogen などがよく 知られている<sup>20)</sup>. BSA はまず末梢血液より白血球を 分離したり21)、赤血球を分画するのに利用されたが22)、 BSA 溶液の濃度を比を変えることによって末梢血か ら顆粒球とリンパ球を分離することも試みられ, 低比 重層に 90-96% のリンパ球, 高比重層に 93-95% の 顆粒球を含むという分離成績が報告された23) さらに 技術的改良が重ねられ、Shortman24) は全血でなく、 あらかじめ赤血球を除去した buffy coat を BSA 浮遊液として重層する方が、細胞の streaming が 起らず濃度勾配も乱れず cell aggregation が減少 し分離精度が向上する点で有利であると述べている。 Dicke<sup>14)</sup> は BSA-DDGC に影響を及ぼす諸因子をひ とつひとつ厳重にチェックして高い再現性を得ること に努めている. その主なものを列挙すると次のごとく である。 1) pH; stock solution の pH は5.3 が最も細胞分離が良好で7.2になると density equilibrium が底部に移り、細胞が高比重域に集中す る. またこの pH ではとくに明らかな細胞障害性は 見られなかった。 2) BSA の濃度; BSA 濃度が溶 液の比重を決定し、わずかな濃度誤差でも分画された 細胞の分布が異なってくるので、とくに重要である、 BSA 濃度と refractive index は各種濃度の BSA 標準溶液の extrapolation による分析から直線関 係にあることが明らかにされているので、20% 以上

の粘稠な BSA 溶液の正確な濃度は refractometry を行なって refractive index によって決定される 必要がある。また比重を直接測定することも高粘度の ため困難であるが、 pyknometry によって測定する ことができる. たとえば 35% BSA 溶液の比重は 1.  $1004\pm0.001$ , 27% では  $1.0780\pm0.001$  であること が確かめられている。3) 浸透圧; 高浸透圧では細胞 は収縮し低浸透圧では膨張することはよく知られてい る. したがって浸透圧は分画される細胞分布に重大な 影響を及ぼし、細胞は高浸透圧では高比重域に、低浸 透圧では低比重域に集中して分布する結果を招く、さ らに使用する BSA 粉末にも少量の塩類が含まれるの で、新しい lot ごとに浸透圧を測定し、その結果に あわせて Tris buffer の浸透圧も調整しなければ ならない、BSA に含まれる塩類をイオン交換樹脂に よって除去する方法25)もあるが、本実験で行なった浸 透圧調整法でも、分画細胞の機能を明らかにする上で は問題なく再現性も十分であった。その他分画すべき 細胞数,温度および遠心力なども少なからず影響を及 ぼすといわれる。一方ある分画を再び BSA-DDGC によって分画する refactionation を行なえば、よ り純粋な分画が得られる. BSA 溶液は 35% 溶液 (Pentex Co.) として市販されているものもあり、こ れを用いて胸腺細胞<sup>26)</sup> や脾細胞<sup>27)</sup> などの heterogeneitv を明らかにした報告もあるが、lot ごとに品質 が一定でないので正確を期する実験には同一 lot の ものを使用する必要があるといわれている. 骨髄細胞 のように形態的機能的に異なる多種類の細胞によって 構成されている場合には、より再現性の高い分画法が 望まれる. しかしながら Table 1より明らかなごと く、ある一種の細胞を純粋に集めることは、骨髄細胞 の場合は困難で隣接する各分画間で overlap する ことは避けられない、即ち骨髄リンパ球と同じ比重を 有する顆粒球や赤芽球が混在する. しかし細胞を集団 として分析する研究手段としては、この BSA-DDGC は有用であり、とくに多種類の細胞からなる骨髄細 胞の分画には適していると思われる、高分子多糖体ポ リマーである Ficoll が最近頻用されているが<sup>28)</sup>. 廉価であり高濃度でも浸透圧に影響を与えないこと、 毒性がなく高圧滅菌可能なことなどが有利な点であろ う、しかし骨髄細胞による検討では、BSA にくらべ 回収率がかなり低下する成績を得ている.

#### 2. 骨髄リンパ球の T cell 機能

同種骨髄移植において生じる GVHR は donorrecipient 間の組織適合性の差によって重症度<sup>29)</sup>が、 また graft 中に含まれる免疫適格細胞とくに T cell の量的な差によって発現時期<sup>(1)</sup>が決定されると いう. 従がって GVHR を解析するには骨髄リンパ球 の T cell 機能を量的および質的に検討することが 不可欠である、骨髄リンパ球の起源、分化および機能 について、現在までに得られている知見を主に実験動 物における成績から要約すると、1) 骨髄リンパ球は マウス30), ラット31), モルモット32)などの実験動物で 総有核細胞数の約 20-25% を占め、ヒトでは 15% 前後<sup>33)34)</sup>といわれる. 2) Autoradiography を利用 した骨髄リンパ球の cytokinetics の研究第 や染色 体マーカーを使ったリンパ球の分化増殖に関する研究 36)などより,骨髄リンパ球は骨髄で産生される . いい かえれば他の血球と同じ幹細胞から分化するものと一 応考えられている. 3) 骨髄リンパ球は形態的には大 部分を占める小リンパ球と比較的大型の large lymphoid cell あるいは transitional cell に区別 され、後者は小リンパ球の precursor cell と考え られている<sup>37)</sup>、4) 小リンパ球は life span の長短 により short-lived のものと long-lived のもの に分けられるが、骨髄小リンパ球は大部分が short--lived で、 long-lived のものはごく少ないといわ れている38)、従がって骨髄にも T cell と考えられ る. いわゆる long-lived, recirculating and small lymphocyteと区別できないリンパ球が存在す るものと思われる. 5) 骨髄リンパ球の免疫学的機能 についての詳細はまだ不明であるが、この方面につい ての報告が最近は多い、細胞表面に免疫グロブリンを 有するリンパ球が多数みられること39, 抗体産生前駆 細胞の存在が確かめられていること40), 一方 in vitro で PHA 反応性を示し MLC において活性を 示すこと<sup>41)42)</sup>, さらに GVHR を起しうること<sup>43)44)</sup> な どの事実から、骨髄リンパ球には B cell および T cell という機能的に異なる少くとも2種のリンパ球 の population が存在すると考えられている.

細胞分画法によって骨髄リンパ球の機能を検討した 成績がいくつか報告されている。まず Dicke ら41) は細胞構成がヒト骨髄とよく似ているマウス脾細胞を BSA-DDGC によって分画し造血能は脾コロニー法, GVHR は spleen weight assay 法を用いて検討 した結果, 造血能に富む分画とは異なる分画に GVHR がみ られることを報告するとともに、ヒトおよび サルにおいて PHA に in vitro で反応する T cell がマウスにおいては GVHR 陽性の分画とほぼ 同じ density を有することを明らかにした. Phillips ら<sup>(3)</sup>は細胞の容積、大きさおよび細胞表面性質 の差を利用した細胞分画法である velosity sedimentation によってマウス骨髄細胞を造血能に富む分 画と GVHR を起す分画にそれぞれ分離しうることを 明らかにした。同じ方法を用いてマウスおよびヒトの 骨髄細胞を分画し, in vitro で PHA に反応し MLC において活性を示す細胞集団はほとんど小リンパ 球からなり、CFC-S や CFC-C とは異なる。sedimenting rate を示す成績(2)も得られている。 さらに Burleson ら40 は BSA-DDGC によってマウス骨髄 リンパ球の T cell 機能を GVH 活性を指標として 検討した結果 GVH 活性を示す細胞は高比重域に分 布し、この分画を構成するリンパ球は形態的機能的に いわゆる long-lived, small lymphocyte と判別 できないと主張している。またラット骨髄リンパ球に も GVH 活性のあることが明らかにされている(5). 著 者ら46)も BSA-DDGC によってマウス骨髄リンパ球 の T cell 機能を検討した結果、小リンパ球に富む 高比重域分画は in vitro で PHA に反応し、MLC で活性を示し、さらに GVHR を惹起しうる即ち T cell 機能を有することを報告したが、この際行な った、最も信頼できる T cell のマーカーである $\theta$ 抗原による骨髄細胞の検索では、heta抗原陽性リンパ球 は従来の報告47)48)と同様にごくわずかしか証明されな かった、一般的には T cell は骨髄において前駆細 胞より分化増殖して胸腺に移行し、胸腺の影響をうけ てさらに分化成熟して T cell としての機能を獲得 し、末梢リンパ組織に出ていわゆる long-lived, recirculating, small lymphocyte になるものと理 解されている.骨髄にθ抗原陽性リンパ球がほとんど 証明されないことは既に述べたが、一方細胞表面に免 疫グロブリンを証明できないリンパ球が 50% 以上存 在するという報告もある³タン.この点については骨髄で 産生されたリンパ球が、そのまま骨髄内で成熟し T cell 機能を持つに至ったとする可能性と recirculating, small lymphocyte がさらに成熟し骨髄内に 移行したとする可能性のふたつが考えられる、いいか えれば prethymic T cell か postthymic T cell か<sup>(g)</sup>という問題であるが,Komuro ら<sup>50)</sup>は骨髄リン パ球に胸腺より抽出したホルモン様物質 (Thymosin) を作用させると、heta抗原陽性細胞が出現するという 注目すべき報告をしている. 一方 Claman51) は nude mouse の骨髄リンパ球が PHA および ConA に反応しなかったことより、骨髄の T cell も胸 腺依存性であると述べている.このように骨髄リンパ 球の免疫学的機能や life history については次第 に明らかにされてきているが、ヒト骨髄リンパ球につ いては技術的困難性や末梢血リンパ球の混入が避けら

れないことなどより、まだ十分な知見が得られていな い. 骨髄移植で実際に graft として用いられるのは 骨髄穿刺液であるから、その免疫学的機能や造血能を 検討することは重要である、本実験で得られた成績か ら明らかなように、骨髄穿刺液中のリンパ球について も実験動物の場合とほぼ同様の成績が得られた、ヒト における T cell のマーカーとしては<sup>52)53)</sup>、 蛍光抗 体法で証明されるリンパ球原形質の HTL 抗原 (human thymus lymphoid tissue antigen), ヒッジ 赤血球とのロゼット形成性、 in vitro で PHA や Con A のような非特異的 mitogen や MLC にお ける alloantigen などの特異的抗原刺激に対する反 応性、さらに芽球化した T cell から放出される生 物学的活性因子 (lymphokine) の直接ないし間接的 測定などが利用されている.勿論病的状態では,これ らのマーカーは必ずしも厳密な意味では T cell の マーカーとして使用できない場合もありうる. in vitro PHA 反応性は Table 2. Fig. 4 に示され るようにD分画のみが常に I.S. 1.1 以上となり、D分 画は T cell 機能を保持していることがわかる. 一 方C分画にもD分画の約1/2のリンパ球が見られ、PHA 反応性も I.S. の平均値で示すと 1.0 以下ではある が 1.1 以上の場合もあり、またA、B分画より高値を 示す傾向がみられた、これは、この分画には顆粒球が 多数混在しリンパ球が量的に少ないために、芽球化し て DNA 合成を行なうリンパ球の 3H-Thymidine 取り込みの増加としては認められなかったものと考え られる. 末梢血リンパ球を alloantigen とする one way MLC においても Fig.4 Table 4. にみ られるように PHA と同様の傾向がみられたが I.S. の値を比較するとD分画の T cell 機能はより明ら かである. PWM に対しては Table 3, Fig.4 に示 されるようにどの分画も反応しうると考えられる、こ れは PWM が T, B cell 両方を刺激しうること, 既に述べたように小リンパ球の前駆細胞や抗体産生細 胞が軽比重域に分布すること4054) などと考え合わせる と、PWM がこれらの細胞を刺激している可能性も否 定できない、ヒトでは GVH assay を行なうこと は不可能であるが、 T cell が非自己である抗原を 認識し増殖するという免疫応答の初期段階の出来事 は、GVHR においても当然発現していることであり、 この意味において MLC は T cell 機能を in vitro で評価しうる有用な方法である. 羊赤血球と spontaneous rosette を形成するリンパ球は、胸腺 リンパ球のほとんどを占め、HTL 抗原陽性で in vitro PHA 反応性が高く胸腺依存部に局在するなど

の事実より、 T cell の性質と考えられている $5^{27}$ 53)、この RFC は Fig.5 より明らかなごとく、D分画に最も多く観察され、しかも末梢血リンパ球とほぼ同程度の比率で認められた、またC分画にもD分画の約1/2程度の RFC が見られた、

以上述べてきた成績より、ヒト骨髄リンパ球にもPHAに反応し、alloantigenを認識しさらに羊赤血球とロゼットを形成するなどの T cell 機能を有するリンパ球が存在し、本実験で用いた BSA-DDGCではD分画ついでC分画に集中して分布し、従がって骨髄Tリンパ球を分離除去することは可能であることが明らかとなった。

#### 3. 造血幹細胞

造血幹細胞の起源については古くから論議されてき たが、1961年 Till and McCulloch の脾コロニー 形成法55) の開発以来、造血幹細胞は抽象的な概念から 具体的な論議の対象となってきている.最近数年間の 技術的開発とともに幹細胞研究が盛んに行なわれつつ あり新しい知見も得られているが、造血機構の詳細は まだ完全に解明されていない状況である. 致死量 X線 照射をうけたマウスに同種骨髄移植を行なうと8-10 日後脾には肉眼的コロニー (CFC-S) が生じる55). こ の CFC-S は赤芽球系, 顆粒球系, 巨核球系および混 合型の細胞構成を有し、他のマウスに再移植すると再 び同様のコロニーが生じること56),移植骨髄細胞数と 脾コロニー数とは直線関係にあって1個の幹細胞が分 化増殖することによってコロニーが形成されること56) などより自己再生、分化および増殖の可能な multipotential stem cell と見做されている. 一方リン パ球からなるコロニーは証明されていないが、 マー カー染色体を用いた実験成績<sup>36)57)58)</sup> などより, CFC-S は骨髄系のみならずリンパ球にも分化しうることが明 らかにされている、従がって骨髄系およびリンパ系両 方に分化しうる共通の幹細胞の存在が予想される. ヒ トでは CFC-S に相当する multipotential stem cell の存在はまだ確認されていないが、ヒト骨髄細 胞の in vitro culture で顆粒球系コロニーを発育 させる方法<sup>19)59)</sup>が開発されている.この CFC-C は multipotential stem cell が顆粒球系へ分化する方 向に commit された unipotential stem cell であるといわれている<sup>60)61)62)</sup>. CFC-S が骨髄細胞分画 法でどこに分布するかについては、 velosity sedimentation による検討43)で、CFC-S のピークは GV HR を起す分画とは異なる sedimenting rate を 示す大型細胞によって占められるという. 既に述べた ように著者ら46)も BSA-DDGC による検討で T cell 機能を示す、主に小リンパ球からなるD分画より 軽い density (A. B分画) にCFC-S が集中して分 布するという成績を得ている。一方ヒトの CFC-C に ついては velosity sedimentation で調べられて おり<sup>42)</sup>. やはり T cell 機能を示す分画とは明らか に異なる sedimenting rate を認めたという、BSA DDGC による検討では Fig.4 に示されるように、 T cell 機能を有するリンパ球に富むD分画より比重 の軽いA、B分画に CFC-C が多数見られ、とくにA分 画にそのピークがありかつ他分画に比較して有意に高 いコロニー数が得られた、 Worton ら<sup>61)</sup>は BSA-DDGC と velosity sedimentation によって CFC-S と CFC-C との関係を検討し、CFC-S と CFC-C はかなり overlap する部分はあるものの、その ピークはそれぞれ異なるという成績を得ており、Haskill ら<sup>25)</sup> も CFC-C が CFC-S よりやや高比重域に 分布することを明らかにしている. 結局両者とも小り ンパ球と異なる、即ち小リンパ球よりやや大きく比重 の軽い細胞であり、さらに CFC-S は CFC-C より比 重が軽くかつ CFC-C より小型の細胞ということにな る. このことは CFC-C が CFC-S の分化したもので あるという成績60%1062)を考慮すると非常に興味深いこ とである、ヒトでも CFC-S に相当する細胞は CFC-C より軽比重域にあり、より小型の細胞である可能 性も示唆される、ところで幹細胞そのものではないに しても, CFC-S あるいは CFC-C を形態的に同定し ようという試みが、 Bekkum らによってなされてい る. Bekkum ら<sup>63)</sup>はまず CFC-S rich fraction を refractionation してかなり純粋な CFC-S fraction を得た. そして形態的検討を加え stem cell の 候補者と考えられる細胞は、光顕的には一見小リンパ 球様に見えるが、電顕的には核小体を有し organellae に乏しい小リンパ球とは異なる細胞であろうと述 べている. さらに Dicke ら<sup>64)</sup> はヒトおよびサルの 骨髄細胞について同様の検討を行なった結果、ほとん ど CFC-C より成る分画の細胞は in vitro で PHA に反応せず形態的には上記のマウス幹細胞の候補 者によく似ているという. この candidate stem cell については異論もあり<sup>65)</sup>、リンパ球の cell kinetics の研究から long-lived の骨髄小リンパ球 <sup>66)</sup>, あるいは transitional cell<sup>67)</sup> ないし large lymphoid cell<sup>68)</sup> を造血幹細胞と想定しているもの もある、ヒトでは CFC-S に相当する幹細胞の存在を 示唆する直接的証明はまだないが、 Philadelphia 染色体が認められる慢性骨髄性白血病や発作性夜間血 色素尿症などにおける臨床的観察<sup>69)70)71)</sup>から、 multi-

potential stem cell の存在が予想されている. いずれにせよ骨髄細胞中に造血幹細胞が存在することには異論はないようであるが,その形態や分化機構などについてはまだ不明な点が多い.

#### 4. 臨床的骨髄移植への応用

骨髄移植の臨床応用における最も大きな障害は、他 の臓器移植でも問題となる HVGR と骨髄移植にの み見られる GVHR である。 Bortin<sup>72)</sup> によれば1959 -62年の間に行なわれた骨髄移植は203例にのぼるが、 そのうち確実に骨髄細胞の生着が証明されたのは僅か 5.4% にすぎないという、いずれも移植免疫の知識 に乏しくかつ評価する技術がなかった時代に行なわれ たものであり、HVGR や GVHR が原因となって移 植が不成功に終ったものと思われる、両反応とも donor-recipient 間に組織適合性の差が認められる 場合に発現してくるものであるから、この組織適合性 の差を克服することがまず解決されねばならない。 HL-A については抗血清の標準化を除けば検索法も 現在ほぼ確立されており73) 臓器移植との関係をみると 腎移植<sup>13)</sup> でも皮膚移植<sup>74)</sup> でも HL-A identical な組み 合わせの場合に最も高い移植成功率が得られている。 一方同種移植では HL-A identical な場合でも isogeneic な組み合わせではなく, また non HL-A 抗原の影響も無視できないので、自己とは異なる同種 抗原に対する反応をできる限り抑制する目的で recipient の免疫能を低下させる処置,即ち免疫抑制療法 をあらかじめ実施しておく必要がある、組織適合性を 考慮し十分な免疫抑制療法を行なうことによって拒絶 反応がコントロールされうるものであることは,既に 8000例を越える腎移植の豊富な臨床経験13)が如実にこ れを示している. 臨床的骨髄移植の対象となる疾患は いずれも治療困難で予后不良なものであるが、大別す ると白血病,再生不良性貧血および免疫不全症の3つ である. 最近の組織適合性検索や免疫抑制療法の発達 に伴って、骨髄移植例数は増加傾向を示し1968年より 73年まで148例が報告されている<sup>13)</sup>. しかしその生着 率は全体として 45%, 生存率は 25% と余り良い成 績とはいえない.移植前に必要な免疫学的処置を施し ても移植骨髄細胞が一旦生着した後に GVHR が生じ れば、移植はほとんど成立せず目的は達成されないこ とになる. GVHR の予防には HVGR におけると同 様組織適合性を考慮することが重要なことはいうまで もないが、 HL-A identical な場合でも 50% 程度 に GVHR が起りうる. 従がって GVHR をいかに防 止軽減するかが骨髄移植の臨床応用において解決すべ き重要な問題である. 問題解決の具体的手段として

は、免疫抑制剤や抗リンパ球血清の使用、免疫適格細 胞の除去などが考えられる、骨髄移植における免疫抑 制剤としては cyclophosphamide や methotrexate がもっぱら使用されているが、投与期間や投与法 を工夫することによって移植成功例が最近報告される ようになった<sup>11)12)75)</sup>. しかし HL-A nonidentical な場合には効果が落ちるといわれているし、また大量 長期投与では造血不全などの重篤な副作用が知られて いる. 抗リンパ球血清の GVHR 抑制効果も明らかに されており既に臨床的にも使用され重症の GVHR を 抑制できるといわれているが、1) 異種血清なので anaphylaxis を起す可能性, 2) 力価の不安定性, 3) 出血傾向を招く危険性などの問題点が指摘されてい る. 最近は histocompatibility complex につい て幾多の研究が発表されており、少くとも LD (lymphocyte defined), IR (immune responsive), ₺ よび SD (serologically defined) determinants があることは確実といわれ、これら determinants の解明と共にHL-A matching についても将来の発 展が期待される.

細胞分画法を利用して GVHR を惹き起す免疫適格 細胞を除去する試みも既に臨床的になされている. deKoning ら<sup>76)</sup> は lymphopenic immunological deficiency の小児に BSA-DDGC 法によって, Abu-Zahra ら<sup>77)</sup> は白血病症例に velosity sedimentation 法によって, それぞれ免疫適格細胞を除去して同種骨髄移植を行なったところ, いずれも GVHR が軽度であったといい, GVHR を軽減する有望な方法だと述べている. 最近 Dicke ら<sup>78)</sup> は10例の combined immunodeficiency disease の患者に BSA-DDGC 法によって得られた濃縮幹細胞浮遊液を移植した結果, HL-A identical の場合には少量の骨髄移植で免疫能が回復し, HL-A nonidentical の場

合でも GVHR を抑制できたと述べている。 骨髄移植 が結局は造血幹細胞の移植に他ならず、GVHR が免 疫適格細胞によって惹き起こされることを考えれば、 上記のごとく免疫適格細胞を物理的に除去して造血幹 細胞に富む分画を移植することは、非常に合理的なこ とといえる、従がって本実験成績より考えてA. B分 画を移植すれば、GVHR を防止ないし軽減すること が可能であると予想される.しかし問題点として、1) 操作がやや面倒で大量の骨髄細胞を処理するには BS A が非常に高価である, 2) 分画後の回収率からいえ ば velosity sedimentation 法より優れていると いうが41), 骨髄細胞中の幹細胞はもともと極めて少な いので,再生不良性貧血の場合のように大量の骨髄細 胞の移植を必要とする時には操作による細胞のロスが 特に深刻な問題となる、3) 造血幹細胞より分化した 免疫適格細胞によって遅延型の GVHR が起ってくる 可能性がある、などの諸点が挙げられる、しかし細胞 数については最近の細胞冷凍保存技術の進歩によっ て、分画した造血幹細胞を冷凍保存して pool して おき、必要な時に十分量を解凍して使用することは実 凍害に抵抗性を示す成績を得ており、今後検討に値す る方法と考えられる, いずれにせよ適確な治療法が確 立されていない造血不全状態を呈する疾患に対して、 骨髄移植は有効な治療手段ということができる。

BSA-DDGC は単に骨髄移植への応用だけでなく免疫学、血液学、広く細胞生物学の分野において、細胞を集団として解析していく研究手段として有用な方法であり、今後大いに利用されることが期待される。

### 結 論

ヒト同様骨髄移植において生じる GVHR を防止ないし軽減する方法を見い出すことを目的として、ヒト

	Lymphocyte	PHA	PWM				_
1	human bone ma	arrow cells	S				
	Table 5 Summa	ary of son	ne biologicai	properties	OI	iractiona	itea

 Fraction	Lymphocyte distribution	PHA response	PWM response	MLC	RFC	CFC-C
Α			+			+++
В			+			++
C	+	+	+	+,	+	+
D	+++	+++	+	+++	+++	
Р	+	+	+	+	+	

原

骨髄細胞を BSA-DDGC によって分画し、得られた 各分画について免疫学的および血液学的検討を行なっ た結果、以下の成績を得た、主要な成績を Table 5 に表示する。

- 1. 比重の差によってヒト骨髄細胞を4層に分画した。それぞれの分画は形態的機能的に特徴ある細胞集団として区別することができた。幼若な細胞は低比重域に、成熟した細胞ほど高比重域に分布する傾向がみられた。
- 2. 低比重域には大型芽球様細胞が多く、造血能のひとつの指標である CFC-C に富むが、免疫適格細胞とくに T cell 機能を有するリンパ球はほとんど認められなかった。
- 3. 高比重域には小リンパ球が集中して分布し、しかも PHA に反応し alloantigen を認識し、さらに羊赤血球とロゼットを形成する、即ち T cell 機能を有するリンパ球に富むが、造血能には乏しかった。したがってヒト骨髄細胞中にも T cell の存在することが示唆された。
- 4.以上の成績から骨髄細胞より T cell 機能を有するリンパ球を除去することは可能であり、造血能に富む分画のみを移植することによって GVHR を予防ないし軽減しうることが示された.

稿を終るに臨み、御指導、御校閱を載いた服部絢一教授に深謝いたします。また直接御指導、御助言を載いた前金沢大学第三内科講師(現金沢医科大学内科助教授) 滝口智夫博士、ならびに御協力と御援助を載いた金沢大学がん研究所右田俊介教授に深く感謝いたします。

本研究は文部省科学研究費(944034)および厚生省特定疾患(再生不良性貧血)研究費によりなされた.記して感謝の意を表する.

#### 文 献

- 1) Nossal, G. J. V. and Ada, G. L.: Antigens, lymphoid cells and the immune response, p.61, New York and London, Academic Press 1971.
- 2) Lindahl-Kiessling, K. and Osoba, D.: Lymphocyte recognition and effector mechanisms. Proceedings of the 8th leukocyte culture conference, p.13, New York and London, Academic press 1974.
- (3) 武谷健二:免疫生物学,46頁,東京,朝倉書店 1973.
- 4) Raff, M. C.: Nature, 242, 19 (1973).
- 5) Miller, J. F. A. P., Basten, A., Sprent, J.

- and Cheers, C.: Cell. Immunol., 2, 469 (1971).6) Good, R. A.: Clinical Immunology, vol.
- l, p.1, New York, Academic press 1972.
- 7) Falk, J. A. and Falk, R. E.: Med. Clin. North. Am., 56, 403 (1972).
- 8) Billingham, A. and Silvers, W.: The immunobiology of transplantation, P.102, New Jersey, Prentice-Hall Inc. 1971.
- 9) Wagner, J., Harris, A. W. and Feldman, M.: Cell. Immunol., 4, 395 (1972).
- **10**) Möller, G. and Svehag, S.: Cell. Immunol., **4**, 1 (1972).
- 11) Bekkum, D. W. van: Sem. Hemat, 11, 325 (1974).
- 12) Phillips, R. A. and Cowan, D. H.: Med. Clin. North, Am., 56, 433 (1972).
- 13) ACS/NIH organ transplant registry: JAMA, 226, 1211 (1973).
- 14) Dicke, K. A.: Proc. Workshop Rijswijk, Sept., 167 (1970).
- 15) **滝口智夫•久田友一郎•岸田 繁**:免疫実験操作法(日本免疫学会編),315頁,金沢 1971.
- **16**) **辻 公美**: 免疫実験操作法(日本免疫学会編). 235頁, 金沢 1971.
- 17) Bach, F. and Voynow, N. K.: Science, 153, 545 (1966).
- 18) **矢田純一•橘 武彦**: 免疫実験操作法(日本免疫学会編), 473頁, 金沢 1972.
- 19) Pike, B. L. and Robinson, W. A.: J Cell Physiol., 76, 77 (1970).
- 20) Cutts, J. H.: Cell separation methods in hematology, p.39, New York and London, Academic Press 1970.
- Valee, B. L., Hughes, W. L. and Gibson,
   J. G.: Blood, Spec. Issue, 1, 182 (1947).
- **22**) Leif, R. C. and Vinograd, J.: Proc. Natl. Acad. Sci. U. S., **51**, 520 (1964).
- 23) Buckley, E. S., Powell, M. J. and Gibson,J. G.: J. Lab. Clin. Med., 36, 29 (1950).
- **24) Shortman, K.**: Australian J. Exptl. Biol. Med. Sci., **46**, 375 (1968).
- 25) Haskill, J. S., Mcneil, T. A. and Moore, M. A. S., : J. Cell Physiol., 75, 167 (1970).
- 26) Takiguchi, T., Adler, W. H. and Smith,
- R. T.: J. Exp. Med., 133, 63 (1971).27) Konda, S., Stockert, E. and Smith, R. T.

- : Cell. Immunol.. 7, 275 (1973).
- 28) Cutts, J. H., Noble, P. B. and Brinkman, T.: Proc. Can. Federation Biol. Soc., 10, 136 (1967).
- 29) Elkins, W. L.: Prog. allergy, 15, 78 (1971).
- **30**) **Ropke, C. and Everett, N. B.**: Cell Tissue Kinet., **6**, 499 (1973).
- **31**) **Morrison, J. H.**: Brit, J. Haemat., **13**, 229 (1967).
- 32) Hudson, G., Osmond, D. G. and Roylance, P. U.: Act. Anat., 53, 234 (1963).
- **33**) **Wintrobe, M. M.**: Clinical Hematology, 6th ed., p.38, Philadelphia, Lea and Fabiger 1967.
- **34**) **小宮悦造**: 臨床血液図説, 上卷, 第 9 版, 50 頁, 東京, 金原出版 1967.
- **35**) **Osmond, D. G. and Everett, N. B.**: Blood, **23**, 1 (1964).
- **36**) **Wu, A. M., Till, J. E., Siminovitch, L. and McCulloch, E. A.** : J. Exp. Med., **127**, 455 (1968).
- 37) 吉田弥太郎·中津井俊之: 臨床血液,15,1089 (1974).
- **38**) **Osmond, D. G.:** Proc. 6th Leukocyte Culture Conf., p.3, New York and London, Academic Press 1972.
- 39) Ryser, J. and Vassalli, P.: J. immunol., 113, 719 (1974).
- 40) Lafleur, L., Miller, R. G. and Phillips, R.A. : J. Exp. Med., 137, 954 (1973).
- 41) Dicke, K. A., Tridente, G. and Bekkum,
- D. W. van: Transplantation, 8, 422 (1969).
- 42) Amato, D., Cowan, D. H. and McCulloch,E. A.: Blood, 39, 472 (1972).
- 43) Phillips, R. A. and Miller, R. G. : J. Immunol., 105, 1168 (1970).
- **44**) **Burleson, R. and Levey, R. A.**: Cell. Immunol., **4**, 305 (1972).
- **45)** Yoshida, Y. and Osmond, D. G.: Transplantation, 12,121 (1971).
- 46) **原田実根•滝口智夫•服部絢一**:第4回日本免疫学会総会記録,117(1974).
- **47**) **Raff, M. C. and Owen, J. J. T.**: Eur. J. Immunol., **1**, 27 (1971).
- 48) Takahashi, T., Old, L. J., Mcintyre, R. K.

- **and Boyse, E. A.**: J. Exp. Med., **134**, 815 (1971).
- **45)** Claman, H. N.: J. Immunol., **112**, 960 (1974).
- **50)** Komuro, K. and Boyse, E. A.: J. Exp. Med., 138, 479, (1973).
- **51**) **Claman, H. N.**: J. Cell. Immunol., **13**, 484 (1974).
- **52**) **Bentwich, Z. and Kunkel, H. G.**: Transpl. Rev., **16**, 29 (1973).
- 53) 矢田純一:最新医学, 28, 1256 (1973).
- **54**) **Miller, H. C. and Cudkowicz, G.**: Science, **171**, 913 (1971).
- **55**) **Till, J. E. and McCulloch, E. A.**: Radiat. res., **14**, 213 (1961).
- **56**) **Metcalf, D. and Moore, M. A. S.**: Hemopoietic cells, p.70, Amsterdam and London, North-Holland Publishing Co. 1971.
- 57) Lafleur, L., Underdown, B. J., Miller, R. G. and Phillips. R. A.: Ser. Haematol., 5, 50 (1972).
- 58) Nowell, P. C., Hirsch, B. E., Fox, D. H. and Wilson, D. B.: J. Cell Physiol., 75, 151 (1970).
- 59) Iscove, N. N., Senn, J. S., Till, J. E. and McCulloch, E. A.: Blood, 37, 1 (1971).
- 60) 仁保喜之: 最新医学, 281705 (1973).
- 61) Worton, R. G., McCulloch, E. A. and Till,J. E.: J. Cell physiol., 74, 171 (1969).
- 62) Wu, A. M., Siminovitch, L., Till, J. E. and McCulloch, E. A.: Proc. Nat. Acad. Sci., 59, 1209 (1968).
- 63) Bekkum, D. W. van, Noord, M. J. van, Maat, B. and Dicke, K. A.: Blood, 42, 195 (1971).
- 64) Dicke, K. A., Noord, M. J. van, Maat, B., Schaefer, U. W. and Bekkum, D. W. van: Blood, 42,195 (1973).
- 65) Dicke, K. A. Noord, M. J. van, Maat, B., Schaefer, D. W. and Bekkum, D. W. van: Ciba Foundation Symposium 13. Hemopoietic Stem Cells, p.47, North-Holland, Elsevier Excerpta Medica 1973.
- 66) Haas, R. J., Flad, H., Fliedner, T. M. and Fache, I.: Blood, 42, 209 (1973).
- 67) Yoffey, J. M.: Ciba Foundation Sympo-

- sium 13. Haemopoietic Stem Cells, p.5, North-Holland, Elsevier Excerpta Medica 1973. 68) Harris, P. F. and Kugler, J. H.: Acta Haemat., 32, 146 (1964).
- 67) Whang, J., Frei, II., Tjio, J. E., Carbonne, P. P. and Brecher, G.: Blood, 22, 664 (1963). 70) Fialkow, P. J., Lisker, R., Detter, J., Gibkett, E. R. and Zavala, C.: Science, 163, 194 (1969).
- 71) Aster, R. H. and Enright. S. E. : J. Clin. Invest., 48, 1199 (1969).
- **72) Bortin, M. M.** : Transplantation, **9**, 571 (1970).
- 73) Ray, J., Scott, R. C., Hare, D. B., Harria, C. E. and Kayhoe, D. E.: Manual of tissue typing technique, p.1, Bethesda, Maryland, Transplantation and Immunology Branch, NIAID, NIH (1972).
- 74) Amos, D. B., Seigler, H. F., Sonthworth,
   J. G. and Ward, F. E.: Transplant. Proc., 1,
   342 (1969).
- 75) Buckner, C. D., Clift, R. A., Fefer, A., Funk, D. D., Glucksberg, Ramberg, R. E., Storb, R. and Thomas, E. D.: Transplant. Proc., 5, 913 (1973).

- 76) deKoning, J., Dooren, L. J., Bekkum, D.
  W. van, Rood, J. J., Dicke, K. A. and Radl,
  J.: Lancet, 1, 1233 (1969).
- 77) Abu-Zahra, H., Amato, D., Aye, M. T., Bergsagel, D. E., Clarysse, A. M., Cowan, D. H., Fornasier, V. L., Hasselback, R., Iscove, N. N., McCulloch, E. A., Messner, H., Miller, R. G., Phillips, R. A., Ragab, A. H., Rider, W. D. and Senn, J. S.: Ser. Haemat., 5, 189 (1972).
- 78) Dicke, K. A., Schaefer, U. W. and Bekkum, D. W. van: Transplant. Proc., 5, 909 (1973). 79) Mathè, G., Amiel, J. L. and Schwarzenberg, L.: Bone Marrow transplantation and leukocyte transfusions, p.156, Springfield, Illinois, Charles C Publisher (1971).
- 80) Leibo, S. P., Farrant, J., Mazur, P., Hanna, Jr. M. G. and Smith, L. H.: Cryobiology, 6, 315 (1970).
- 81) **隅田幸男:** 冷凍血液輸血, 134頁, 東京, 日本 医事新報社 1972.
- 82) Harada, M. and Hattori, K.: Low Temp. Med., 1, 27 (1975).

# Abstract

In anattempt to prevent or minimize graft versus host reaction (GVHR) occurring after allogeneic human bone marrow transplantation, physical separation of immunocompetent cells from human hematopoietic bone marrow cells was evaluated by using BSA discontinuous density gradient centrifugation (BSA-DDGC). Four fractions separated by this density gradient were studied morphologically and functionally.

Low dense fractions mostly containing immature cells, were enriched with hematopoietic activity measured by colony forming cells in culture (CFC-C), and possessed only little immunocompetence. On the other hand, however, high dense fractions contained, together with mature marrow cells, a good number (approximately 25%) of small lymphocytes which apparently showed T-cell function measured by in vitro response to PHA and alloantigen in MLC, and spontaneous rosette formation with sheep erythrocytes, although hematopoietic activity was very low.

The results obtained here showed the possibility of elimination of T cell function from human bone marrow cells, and also suggest that bone marrow T cells exist in human bone marrow as described in mice by others. CFC-C rich fractions, which are low-density fractions by BSA-DDGC, could be used as bone marrow graft, and would minimize GVHR which is initiated by bone marrow T cells.

# Legends for Figure 3 and 8

Figure 3; Morphology of fractionated bone marrow cells. A and B represent Giemsa-stained smears of bone marrow cells of fraction A and B respectively. C and D do those of fraction C and D respectively. ( $\times$  1000)

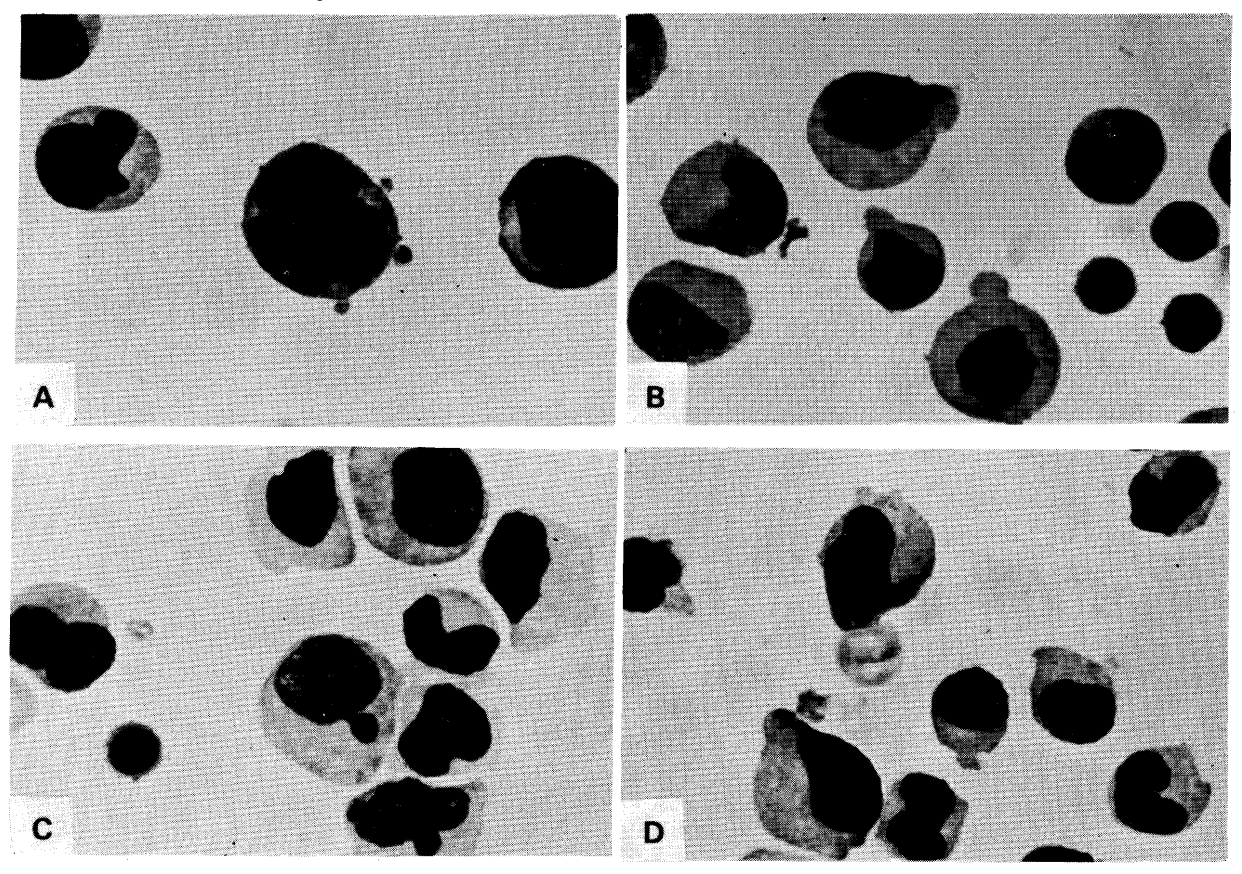


Figure 8; Morphology of colony forming cell in culture. A represents neutrophil colony, and B macrophage colony. (× 200)

